Das Pontrjaginsche Maximumprinzip für optimale Multiprozesse mit stetigen Zustandstrajektorien

Nico Tauchnitz

arXiv:1511.08357v1 [math.OC] 26 Nov 2015

Vorwort

Die vorliegende Ausarbeitung ist eine Kurzfassung der Ergebnisse meiner Dissertation zu optimalen Multiprozessen mit stetigen Zuständen. In der Modellierung sind außerdem Wechselkosten nicht vorgesehen. Die Reduzierung auf stetige Zustände und die Vernachlässigung von Wechselkosten schränkt die Aufgabenklasse im Rahmen der Multiprozesse und hybriden Steuerungsprobleme ein. Aber für diese Aufgabenklasse gebe ich einen Vorschlag an, wie man die Wechselstrategien zwischen den einzelnen Steuerungssystem auf elegante Weise als Steuervariable in die Modellierung einbinden kann. D. h. eine Vorgabe der Anzahl und der Zeitpunkte der Wechsel zwischen den verschiedenen Steuerungssystemen, sowie die jeweilige Auswahl des Steuerungssystems ist nicht vorgeben. Die Informationen über die optimale Wechselstrategie ergeben sich aus den Optimalitätsbedingungen.

Das Ergebnis für diese Aufgabenklasse ist ein Pontrjaginsches Maximumprinzip für starke lokale Optimalstellen. Die notwendigen Bedingungen werden an illustrativen Beispielen demonstriert. Dies ist ein Modell, in dem zu jedem Zeitpunkt zwischen zwei verschiedenen Investitionsmodellen entschieden werden kann. Unter besonderen Umständen führt dabei die Wechselstrategie zu einem Sattelpunkt. Zusätzlich wird ein zeitoptimales Modell gekoppelter Behälter untersucht. Dieses Beispiel ist in meiner Dissertation noch nicht betrachtet wurden. In diesem Beispiel können die Optimalitätsbedingungen in der Weise entarten, dass eine optimale Wechselstrategie nicht zu bestimmen ist. Bei genauerem Blick auf das Modell klärt sich dieser Fall sinnvoll auf.

November 2015

Inhaltsverzeichnis

1 Einleitung **3**

2 k-fache Zerlegungen **5**

3 Die Aufgabenstellung **6**

4 Das Pontrjaginsche Maximumprinzip **7**

5 Ein Investitionsmodell **9**

6 Multiprozesse mit freiem Anfangs- und Endzeitpunkt **11**

7 Zeitoptimale Steuerung gekoppelter Behälter **13**

Literatur **16**

1 Einleitung

Ein Multiprozess besteht aus einer gewissen endlichen Anzahl von einzelnen Steuerungssystemen, welche sich jeweils aus individuellen Dynamiken, Zielfunktionalen und Steuerungsbereichen zusammensetzen. Neben der Bestimmung der optimalen Steuerungen für das jeweils gewählte Steuerungssystem ist das Ziel bei der Untersuchung von Multiprozessen die Anzahl der Wechsel zwischen den einzelnen Steuerungssystemen, die konkrete Wahl des jeweiligen Steuerungssystems und diejenigen Zeitpunkte, zu denen diese Wechsel stattfinden, zu bestimmen.
Als illustratives Beispiel führen wir das Autofahren an: Neben den kontinuierlichen Steuerungen "beschleunigen" und "bremsen" bildet die Wahl des konkreten Ganges einen wesentlichen Beitrag zur Minmierung des Treibstoffverbrauchs oder zum Erreichen des Zielortes in kürzester Zeit. Die Auswahl des jeweiligen Ganges hängt dabei z. B. von der momentanen Geschwindigkeit oder dem Streckenprofil oder der Straßen- und Verkehrssituation ab. Maßgeblich beeinflusst wird durch die Schaltvorgänge das dynamische Beschleunigungsverhalten und der momentane Benzinverbrauch oder die Geschwindigkeit.

Eine anschauliche Beschreibung eines Multiprozesses wird durch die Auflistung der jeweilig ausgewählten Steuerungssysteme gegeben. Dazu zerlegt man das Zeitintervall $[0, T]$ zu den Wechselzeitpunkten in Teilintervalle,

$$0 = t_0 < t_1 < ... < t_N = T,$$

und beschreibt für $j = 1, ..., N$ auf den Teilabschnitten die ausgewählten Steuerungssysteme:

$$\int_{t_{j-1}}^{t_j} f_j\big(t, x(t), u(t)\big)\, dt, \quad \dot{x}(t) = \varphi_j\big(t, x(t), u(t)\big) \text{ für } t \in (t_{j-1}, t_j), \quad u(t) \in U \subseteq \mathbb{R}^{m_j}.$$

Der Multiprozess erhält (ohne die Beachtung weiterer Beschränkugen) dadurch die Gestalt

$$\begin{aligned} &J\big(x(\cdot), u(\cdot)\big) = \sum_{j=1}^{N} \int_{t_{j-1}}^{t_j} f_j\big(t, x(t), u(t)\big)\, dt \to \inf, \\ &\dot{x}(t) = \varphi_j\big(t, x(t), u(t)\big) \text{ für } t \in (t_{j-1}, t_j), \quad j = 1, ..., N, \\ &u(t) \in U \subseteq \mathbb{R}^{m_j}, \quad j = 1, ..., N. \end{aligned}$$

An dieser Stelle muss kritisch hervorgehoben werden, dass in dieser Darstellung eines Multiprozesses durch die Indizes $j = 1, ..., N$ die Struktur der Wechselstrategie vorgegeben ist. D. h. die Anzahl der Wechsel und die jeweilige Auswahl des Steuerungssystems ist implizit bereits vorgegeben. Die Beschreibung einer Wechselstrategie in Form einer "echten" Steuervariable wird in dieser Form nicht erreicht.

Auf dieser Formulierung basiert die grundlegende Strategie zur Untersuchung von allgemeinen Multiprozessen (insbesondere mit unstetigen Zuständen und mit Wechselkosten): *„The maximum principle gives necessary conditions for [...] a solution [...]. The result only depends on comparing trajectories with the same switching strategy [...]"* (Sussmann [10], S. 330.). Die Arbeit [10] bezieht sich zwar auf allgemeinere Aufgaben als wir sie betrachten wollen, aber die wesentlichen Beiträge zu notwendigen Optimalitätsbedingungen beruhen ebenso auf der Grundlage lediglich gleichartige Wechselstrategien zu vergleichen [1–5, 8, 9].

Wir zeigen in dieser Ausarbeitung für Multiprozesse mit stetigen Zuständen einen Weg auf, die Wechselstrategien als Steuervariablen einzuführen. Damit sind wir in der Lage, Multiprozesse auf

starke lokale Optimalstellen zu untersuchen. Das beinhaltet, dass wir zur Bestimmung von notwendigen Optimalitätsbedingungen Multiprozesse mit beliebig gearteten Wechseltstrategien vergleichen.

Wir beginnen diese Ausarbeitung mit der Einführung von geeigneten Zerlegungen des Zeitintervalls und der Verknüpfung dieser Variablen mit vektorwertigen Abbildungen. Die Zerlegungen des Zeitintervalls bilden die Grundlage, um im nächsten Schritt die Wechselstrategien als Steuervariablen in die Beschreibung eines Multiprozesses einzufügen, sowie die konkrete Aufgabestellung und das Pontrjaginsche Maximumprinzip zu formulieren. Die angegebenen notwendigen Bedingungen wenden wir anschließend auf ein einfaches Investitionsmodell an. Danach weiten wir die Multiprozesse auf Aufgaben mit freien Endzeiten aus und betrachten abschließend die zeitoptimale Steuerung eines gekoppelter Behälter.

Wir gegeben für das Pontrjaginsche Maximumprinzip nur Bemerkungen zum Beweis an. Die ausführlichen Darlegungen zu optimalen Multiprozessen für Aufgaben mit festen und freien Endzeiten sind in [11] zu finden.

2 k-fache Zerlegungen

Es seien das Intervall $I \subseteq \mathbb{R}$ und $k \in \mathbb{N}$ gegeben.

Definition 2.1 (k-fache Zerlegung)**.** *Unter einer k-fachen Zerlegung des Intervalls $I \subseteq \mathbb{R}$ verstehen wir ein endliches System $\mathscr{A} = \{\mathscr{A}^1, ..., \mathscr{A}^k\}$ von Lebesgue-meßbaren Teilmengen von I mit*

$$\bigcup_{1 \le i \le k} \mathcal{A}^i = I, \qquad \mathcal{A}^i \cap \mathcal{A}^j = \emptyset \text{ für } i \neq j.$$

Es bezeichnet $\mathscr{Z}^k(I) = \{\mathscr{A}\} = \big\{\{\mathscr{A}^i\}_{1 \le i \le k}\big\}$ die Menge aller k-fachen Zerlegungen von I.

Wir identifizieren die Elemente $\mathscr{A} \in \mathscr{Z}^k(I)$ durch die Vektorfunktion

$$\chi_{\mathscr{A}}(t) = \big(\chi_{\mathscr{A}^1}(t), ..., \chi_{\mathscr{A}^k}(t)\big), \quad t \in I,$$

der charakteristischen Funktionen der Mengen $\mathcal{A}^i$. Dann gehört jede Funktion $\chi_{\mathscr{A}}(\cdot)$ zu der Menge

$$\mathscr{Y}^k(I) = \left\{ y(\cdot) \in L_\infty(I, \mathbb{R}^k) \,\middle|\, y(t) = \big(y^1(t), ..., y^k(t)\big), y^i(t) \in \{0,1\}, \sum_{i=1}^k y^i(t) = 1 \right\}.$$

Die Menge $\mathscr{Z}^k(I)$ der k-fachen Zerlegungen bzw. $\mathscr{Y}^k(I)$ der charakteristischen Vektorfunktionen repräsentieren sämtliche Wechselstrategien in Multiprozessen mit k Steuerungssystemen.

Wir betrachten nun k Funktion $h^i : I \times \mathbb{R}^n \times \mathbb{R}^{m_i} \to \mathbb{R}^s$, und fassen diese zur Vektorfunktion $h = (h^1, ..., h^k)$ zusammen. Die Verknüpfung mit einer k-fachen Zerlegung legen wir wie folgt fest:

$$\mathscr{A} \circ h(t,x,u) = \chi_{\mathscr{A}}(t) \circ h(t,x,u) = \sum_{i=1}^k \chi_{\mathscr{A}^i}(t) \cdot h^i(t,x,u^i), \quad u = (u^1, ..., u^k) \in \mathbb{R}^{m_1 + ... + m_k}.$$

Sind die Funktionen h^i differenzierbar, dann setzen wir für die partielle Ableitung bzgl. t und x:

$$\begin{aligned} \mathscr{A} \circ h_t(t,x,u) &= \chi_{\mathscr{A}}(t) \circ h_t(t,x,u) = \sum_{i=1}^k \chi_{\mathscr{A}^i}(t) \cdot h^i_t(t,x,u^i), \\ \mathscr{A} \circ h_x(t,x,u) &= \chi_{\mathscr{A}}(t) \circ h_x(t,x,u) = \sum_{i=1}^k \chi_{\mathscr{A}^i}(t) \cdot h^i_x(t,x,u^i). \end{aligned}$$

Die k-fachen Zerlegungen besitzen grundlegende Eigenschaften, von denen wir einige angeben werden Für $\chi_{\mathscr{A}}(\cdot), \chi_{\mathscr{B}}(\cdot) \in \mathscr{Y}^k(I)$, $g, h : I \times \mathbb{R}^n \times \mathbb{R}^m \to \mathbb{R}^s$ und $\alpha \in \mathbb{R}$ gelten offenbar:

(a) $\chi_{\mathscr{A}}(t) \circ [\alpha \cdot h(t,x,u)] = \alpha \cdot [\chi_{\mathscr{A}}(t) \circ h(t,x,u)]$,

(b) $\chi_{\mathscr{A}}(t) \circ [g(t,x,u) + h(t,x,u)] = [\chi_{\mathscr{A}}(t) \circ g(t,x,u)] + [\chi_{\mathscr{A}}(t) \circ h(t,x,u)]$,

(c) $[\chi_{\mathscr{A}}(t) + \chi_{\mathscr{B}}(t)] \circ h(t,x,u) = [\chi_{\mathscr{A}}(t) \circ h(t,x,u)] + [\chi_{\mathscr{B}}(t) \circ h(t,x,u)]$.

Eine weitere Eigenschaft, die in Bezug zu Nadelvariationen von Wechselstrategien steht, ist:

(d) Es seien $\chi_{\mathscr{A}}(\cdot), \chi_{\mathscr{B}}(\cdot) \in \mathscr{Y}^k(I)$ und $M \subseteq I$ meßbar. Wir setzen

$$y(t) = \chi_{\mathscr{A}}(t) + \chi_M(t)\big(\chi_{\mathscr{A}}(t) - \chi_{\mathscr{B}}(t)\big).$$

Dann gilt $y(\cdot) \in \mathscr{Y}^k(I)$.

3 Die Aufgabenstellung

Es sei $k \in \mathbb{N}$ die Anzahl der verschiedenen gegebenen Steuerungssysteme, die individuelle Integranden $f^i(t,x,u^i) : \mathbb{R} \times \mathbb{R}^n \times \mathbb{R}^{m_i} \to \mathbb{R}$, Dynamiken $\varphi^i(t,x,u^i) : \mathbb{R} \times \mathbb{R}^n \times \mathbb{R}^{m_i} \to \mathbb{R}^n$ und Steuerbereiche $U^i \subseteq \mathbb{R}^{m_i}$ besitzen können. Ferner seien

$$g_j(t,x) : \mathbb{R} \times \mathbb{R}^n \to \mathbb{R}, \quad j = 1,...,l, \qquad h_\iota(x) : \mathbb{R}^n \to \mathbb{R}^{s_\iota}, \quad \iota = 0,1.$$

Wir fassen die Steuerungssysteme durch die Setzungen

$$f = (f^1,...,f^k), \qquad \varphi = (\varphi^1,...,\varphi^k), \qquad U = U^1 \times ... \times U^k$$

zusammen. Mit den Vorbetrachtungen des letzten Abschnitts formulieren wir über dem Zeitintervall $[t_0,t_1]$ die Aufgabe des optimalen Multiprozesses mit Zustandsbeschränkungen wie folgt:

$$J\big(x(\cdot),u(\cdot),\mathscr{A}\big) = \int_{t_0}^{t_1} \chi_{\mathscr{A}}(t) \circ f\big(t,x(t),u(t)\big)dt \to \inf, \tag{3.1}$$

$$\dot{x}(t) = \chi_{\mathscr{A}}(t) \circ \varphi\big(t,x(t),u(t)\big), \tag{3.2}$$

$$g_j\big(t,x(t)\big) \le 0, \quad t \in [t_0,t_1], \quad j = 1,...,l, \tag{3.3}$$

$$h_0\big(x(t_0)\big) = 0, \quad h_1\big(x(t_1)\big) = 0, \tag{3.4}$$

$$u(t) \in U = U^1 \times ... \times U^k, \quad U^i \neq \emptyset, \quad \mathscr{A} \in \mathscr{Z}^k([t_0,t_1]). \tag{3.5}$$

Wir treffen folgende Annahmen in der Aufgabe (3.1)–(3.5):

($\mathbf{A}_1$) Für $i = 1,...,k$ sind die Abbildungen $f^i(t,x,u^i)$, $\varphi^i(t,x,u^i)$ stetig in der Gesamtheit der Variablen, stetig differenzierbar bzgl. x und es seien die Abbildungen $f^i_x(t,x,u^i), \varphi^i_x(t,x,u^i)$ stetig in der Gesamtheit der Variablen.

($\mathbf{A}_2$) Sämtliche Funktionen $g_j(t,x)$, $h_\iota(x)$ sind stetig, stetig nach x differenzierbar und es seien die Abbildungen $g_{jx}(t,x)$ stetig in der Gesamtheit der Variablen.

Wir nennen ein Tripel $\big(x(\cdot),u(\cdot),\mathscr{A}\big)$ mit $x(\cdot) \in W^1_\infty\big([t_0,t_1],\mathbb{R}^n\big)$, $u(\cdot) \in L_\infty\big([t_0,t_1],U\big)$ und Wechselstrategie $\mathscr{A} \in \mathscr{Z}^k([t_0,t_1])$ einen Multiprozess. Ein Multiprozess $\big(x(\cdot),u(\cdot),\mathscr{A}\big)$ heißt zulässig in der Aufgabe (3.1)–(3.5), wenn auf dem Intervall $[t_0,t_1]$ die Funktion $x(\cdot)$ fast überall der Gleichung

$$\dot{x}(t) = \chi_{\mathscr{A}}(t) \circ \varphi\big(t,x(t),u(t)\big) = \sum_{i=1}^{k} \chi_{\mathscr{A}^i}(t) \cdot \varphi^i\big(t,x(t),u^i(t)\big)$$

genügt, für alle $t \in [t_0,t_1]$ die Zustandsbeschränkungen $g_j\big(t,x(t)\big) \le 0$, $j = 1,...,l$, erfüllt sind und in den Endpunkten t_0,t_1 die Randbedingungen $h_0\big(x(t_0)\big) = 0$, $h_1\big(x(t_1)\big) = 0$ gelten.
Einen zulässigen Multiprozess $\big(x_*(\cdot),u_*(\cdot),\mathscr{A}_*\big)$ nennen wir ein starkes lokales Minimum, wenn eine Zahl $\varepsilon > 0$ derart existiert, dass für jeden zulässigen Multiprozess $\big(x(\cdot),u(\cdot),\mathscr{A}\big)$ mit

$$\|x(\cdot) - x_*(\cdot)\|_\infty < \varepsilon$$

folgende Ungleichung gilt:

$$J\big(x(\cdot),u(\cdot),\mathscr{A}\big) \ge J\big(x_*(\cdot),u_*(\cdot),\mathscr{A}_*\big).$$

4 Das Pontrjaginsche Maximumprinzip

In der Aufgabe (3.1)–(3.5) definieren wir für die einzelnen Steuerungssysteme die partiellen Pontrjaginschen Funktionen $H^i : \mathbb{R} \times \mathbb{R}^n \times \mathbb{R}^{m_i} \times \mathbb{R}^n \times \mathbb{R} \to \mathbb{R}$ standardgemäß durch

$$H^i(t, x, u^i, p, \lambda_0) = \langle p, \varphi^i(t, x, u^i)\rangle - \lambda_0 f^i(t, x, u^i).$$

Dann heißt für die Aufgabe optimaler Multiprozesse die Funktion

$$\begin{aligned}\chi_{\mathscr{A}}(t) \circ H\big(t, x, u, p, \lambda_0\big) &= \sum_{i=1}^{k} \chi_{\mathscr{A}^i}(t) \cdot H^i(t, x, u^i, p, \lambda_0) \\ &= \sum_{i=1}^{k} \chi_{\mathscr{A}^i}(t) \cdot \big(\langle p, \varphi^i(t, x, u^i)\rangle - \lambda_0 f^i(t, x, u^i)\big)\end{aligned}$$

mit $H : \mathbb{R} \times \mathbb{R}^n \times \mathbb{R}^{m_1+\ldots+m_k} \times \mathbb{R}^n \times \mathbb{R} \to \mathbb{R}^k$ die Pontrjaginsche Funktion.

Theorem 4.1 (Pontrjaginsches Maximumprinzip)**.** *Es seien die Annahmen* $(\mathbf{A}_1)$, $(\mathbf{A}_2)$ *erfüllt. Ist* $\big(x_*(\cdot), u_*(\cdot), \mathscr{A}_*\big)$ *ein starkes lokales Minimum in der Aufgabe (3.1)–(3.5), dann existieren eine Zahl* $\lambda_0 \geq 0$*, Vektoren* $l_0 \in \mathbb{R}^{s_0}$, $l_1 \in \mathbb{R}^{s_1}$*, eine Vektorfunktion* $p(\cdot)$, $p : [t_0, t_1] \to \mathbb{R}^n$*, und auf den Mengen* $T_j = \big\{t \in [t_0, t_1] \,\big|\, g_j\big(t, x_*(t)\big) = 0\big\}$ *konzentrierte nichtnegative reguläre Borelsche Maße* μ_j, $j = 1, ..., l$*, (wobei diese Größen nicht gleichzeitig verschwinden) derart, dass*

a) die Vektorfunktion $p(\cdot)$ *der Integralgleichung*

$$\begin{aligned}p(t) &= -{h_1'}^T\big(x_*(t_1)\big)\, l_1 + \int_t^{t_1} \chi_{\mathscr{A}_*}(\tau) \circ H_x\big(\tau, x_*(\tau), u_*(\tau), p(\tau), \lambda_0\big) d\tau \\ &\quad - \sum_{j=1}^{l} \int_t^{t_1} g_{jx}\big(\tau, x_*(\tau)\big) d\mu_j(\tau) \qquad (4.1)\end{aligned}$$

genügt und die Transversalitätsbedingung

$$p(t_0) = {h_0'}^T\big(x_*(t_0)\big) l_0 \qquad (4.2)$$

erfüllt;

b) für fast alle t *aus* $[t_0, t_1]$ *die Maximumbedingung*

$$\chi_{\mathscr{A}_*}(t) \circ H\big(t, x_*(t), u_*(t), p(t), \lambda_0\big) = \max_{\substack{u^i \in U^i \\ 1 \leq i \leq k}} H^i\big(t, x_*(t), u^i, p(t), \lambda_0\big). \qquad (4.3)$$

gilt.

In den Aufgaben ohne Zustandsbeschränkungen ist $p(\cdot)$ eine absolutstetige Funktion. Liegen aber Phasenbeschränkungen vor, so kann die adjungierte Funktion $p(\cdot)$ Unstetigkeiten aufweisen, da in Gleichung (4.1) Integrale bzgl. der Maße μ_j vorkommen. Sie ist jedoch stets eine Funktion beschränkter Variation, die linksseitig stetig ist (vgl. [6], S. 209).

Beweisskizze Wir halten uns an die Beweismethode von Ioffe& Tichomirov für regulär lokalkonvexe Aufgaben ([6], S. 200–224). Grundlage bildet dabei Satz 1, S. 201.

Die Voraussetzungen a) und c) von Satz 1 folgen ebenso wie in [6], da jedes einzelne Steuerungssystem die klassischen Voraussetzungen an Optimalsteuerungsprobleme erfüllt und zudem die Relation

$$\|\chi_{\mathscr{A}}(t) \circ h(t,x,u)\| \leq \sum_{i=1}^{k} \|h^i(t,x,u^i)\|$$

für die individuellen Abbildungen und jede Wechselstrategie gilt.
Es bleibt die Existenz der Abbildung unter Voraussetzung b) von Satz 1 nachzuweisen. Die Grundlage dafür liefern die Mengenfamilien $M_1(\alpha), ..., M_{\kappa_0}(\alpha)$ mit den Eigenschaften (vgl. [6], Lemma 2, S. 217)

$$|M_\kappa(\alpha)| = \alpha(t_1 - t_0), \quad M_\kappa(\alpha') \subseteq M_\kappa(\alpha), \quad M_\kappa(\alpha) \cap M_{\kappa'}(\alpha') = \emptyset.$$

Wegen der Disjunktheit der Mengenfamilien für verschiedene Indizes können wir zu gegebenen $u_\kappa(\cdot) \in L_\infty([t_0,t_1],U)$ die Steuerung $u_\alpha(\cdot) \in L_\infty([t_0,t_1],U)$ gemäß

$$u_\alpha(t) = u_*(t) + \sum_{\kappa=1}^{\kappa_0} \chi_{M_\kappa(\alpha_\kappa)}(t) \cdot \big(u_\kappa(t) - u_*(t)\big)$$

definieren. Diese Nadelvariation der Steuerung $u_*(\cdot)$ bzgl. meßbarer Mengen in Richtung der Steuerung $u_\kappa(\cdot)$ besitzt für jede wohldefinierte $h = h(t,x,u)$ die Eigenschaft

$$h\big(t,x,u_\alpha(t)\big) = h\big(t,x,u_*(t)\big) + \sum_{\kappa=1}^{\kappa_0} \chi_{M_\kappa(\alpha_\kappa)}(t) \cdot \Big(h\big(t,x,u_\kappa(t)\big) - h\big(t,x,u_*(t)\big)\Big).$$

D. h., die Nadelvariationen bzgl. der impliziten Steuervariable wirken sich entsprechend als Nadelvariation auf den Wert der Abbildung h aus.
Mit der Einführung der Wechselstrategien als zusätzliche Steuervariable ist diese Eigenschaft für Multiprozesse sicherzustellen, damit Voraussetzung b) von Satz 1 in [6] erfüllt ist. Auf Basis der Eigenschaften, dass für $\chi_{\mathscr{A}}(\cdot), \chi_{\mathscr{B}}(\cdot) \in \mathscr{Y}^k([t_0,t_1])$ und für meßbare Teilmengen $M \subseteq [t_0,t_1]$ die Funktion

$$y(t) = \chi_{\mathscr{A}}(t) + \chi_M(t)\big(\chi_{\mathscr{A}}(t) - \chi_{\mathscr{B}}(t)\big)$$

wieder eine Wechselstrategie beschreibt, lässt sich die Beziehung

$$\begin{aligned} &\chi_{\mathcal{A}_\alpha}(t) \circ h\big(t,x,u_\alpha(t)\big) - \chi_{\mathcal{A}_*}(t) \circ h\big(t,x,u_*(t)\big) \\ &= \sum_{\kappa=1}^{\kappa_0} \chi_{M_\kappa(\alpha_\kappa)}(t) \cdot \Big(\chi_{\mathcal{A}_\kappa}(t) \circ h\big(t,x,u_\kappa(t)\big) - \chi_{\mathcal{A}_*}(t) \circ h\big(t,x,u_*(t)\big)\Big) \end{aligned} \tag{4.4}$$

und damit das Maximumprinzip 4.1 (ausführlich in [11]) zeigen. ■

5 Ein Investitionsmodell

Wir untersuchen ein Investitionsmodell, dass sich aus den „consumption vs. investement“-Modellen in [7], S. 82 und S. 130, zusammensetzt:

$$J\big(x(\cdot),u(\cdot),\mathscr{A}\big)=\int_0^T \chi_{\mathscr{A}}(t)\circ f\big(t,x(t),u(t)\big)dt\to\sup, \tag{5.1}$$

$$\dot{x}(t)=\chi_{\mathscr{A}}(t)\circ\varphi\big(t,x(t),u(t)\big),\quad x(0)=x_0>0, \tag{5.2}$$

$$u(t)\in[0,1],\quad \mathscr{A}=\{\mathscr{A}^1,\mathscr{A}^2\}\in\mathscr{Z}^2([0,1]), \tag{5.3}$$

mit den einzelnen Steuerungssystemen

$$\begin{array}{ll} f^1(t,x,u^1)=(1-u^1)x, & \varphi^1(t,x,u^1)=u^1x,\\ f^2(t,x,u^2)=(1-u^2)x^\alpha, & \varphi^2(t,x,u^2)=u^2x^\alpha, \end{array}\qquad U^1=U^2=[0,1]$$

und mit den Modellparametern

$$\alpha\in(0,1)\text{ konstant},\qquad T\text{ fest mit }T>\max\left\{1,\frac{x_0^{1-\alpha}}{\alpha}\right\}. \tag{5.4}$$

Wir wenden Theorem 4.1 an: Angenommen, es ist $\lambda_0=0$. Dann folgt $p(t),q(t)\equiv 0$, im Widerspruch zu Satz 4.1. Daher sei $\lambda_0=1$. Dann gilt nach (4.3) für fast alle $t\in[0,T]$:

$$\begin{aligned}&\chi_{\mathscr{A}_*}(t)\circ H\big(t,x_*(t),u_*(t),p(t),1\big)\\ &\quad=\max_{i\in\{1,2\}}\Big\{\max_{u^1\in[0,1]}\big[\big(p(t)-1\big)u^1+1\big]\cdot x_*(t),\max_{u^2\in[0,1]}\big[\big(p(t)-1\big)u^2+1\big]\cdot x_*^\alpha(t)\Big\}.\end{aligned}$$

Dies können wir weiterhin in die Form

$$\max_{v\in[0,1]}\big[\big(p(t)-1\big)v\big]\cdot\max_{i\in\{1,2\}}\{x_*(t),x_*^\alpha(t)\} \tag{5.5}$$

bringen. Daraus erhalten wir für die optimale Investitionsrate und Wechselstrategie

$$u_*^1(t)=u_*^2(t)=v_*(t)=\begin{cases}1, & p(t)<1,\\ 0, & p(t)>1,\end{cases}\qquad \chi_{\mathscr{A}_*}(t)=\begin{cases}(1,0), & x_*(t)>1,\\ (0,1), & 0<x_*(t)<1.\end{cases}$$

Die Funktion $p(\cdot)$ ist die Lösung der adjungierten Gleichung (4.1)

$$\dot{p}(t)=\begin{cases}-\big[\big(p(t)-1\big)v_*(t)+1\big], & t\in\mathscr{A}_1,\\ -\big[\big(p(t)-1\big)v_*(t)+1\big]\cdot\alpha x_*^{\alpha-1}(t), & t\in\mathscr{A}_2,\end{cases}\qquad p(T)=0. \tag{5.6}$$

Betrachten wir die Steuerungssysteme für sich, so sind durch $t_1=T-1$ bzw. $t_2=\alpha T-x_0^{1-\alpha}$ die Zeitpunkte für den optimalen Wechsel von vollständiger Investition in komplette Kosumption gegeben. Außerdem ist für die Lösung $x(\cdot)$ der Differentiagleichung $\dot{x}(t)=x^\alpha(t)$ mit $x_0\in(0,1)$ der Zeitpunkt σ, in dem $x(\sigma)=1$ gilt, durch $\sigma=\frac{1-x_0^{1-\alpha}}{1-\alpha}$ bestimmt. Im Weiteren seien also

$$t_1=T-1,\qquad t_2=\alpha T-x_0^{1-\alpha},\qquad \sigma=\frac{1-x_0^{1-\alpha}}{1-\alpha}.$$

a) Sei $x_0 \geq 1$: In diesem Fall lautet die Lösung

$$x_*(t) = \begin{cases} x_0 \cdot e^t, & t \in [0, t_1), \\ x_0 \cdot e^{t_1}, & t \in [t_1, T], \end{cases} \qquad u_*^1(t) = \begin{cases} 1, & t \in [0, t_1), \\ 0, & t \in [t_1, T], \end{cases}$$
$$\chi_{\mathscr{A}_*}(t) = (1, 0), \qquad J\big(x_*(\cdot), u_*(\cdot), \mathscr{A}_*\big) = x_0 \cdot e^{t_1}.$$

b) Seien $x_0 < 1$ und $T < \frac{1-\alpha x_0^{1-\alpha}}{\alpha(1-\alpha)}$: Dann lautet die Lösung

$$y_*(t) = \begin{cases} \big[(1-\alpha)t + x_0^{1-\alpha}\big]^{\frac{1}{1-\alpha}}, & t \in [0, t_2), \\ \big[\alpha(1-\alpha)T + \alpha x_0^{1-\alpha}\big]^{\frac{1}{1-\alpha}}, & t \in [t_2, T], \end{cases} \qquad v_*^2(t) = \begin{cases} 1, & t \in [0, t_2), \\ 0, & t \in [t_2, T], \end{cases}$$
$$\chi_{\mathscr{B}_*}(t) = (0, 1), \qquad J\big(y_*(\cdot), v_*(\cdot), \mathscr{B}_*\big) = \alpha^{\frac{\alpha}{1-\alpha}} \cdot \big[(1-\alpha)T + x_0^{1-\alpha}\big]^{\frac{1}{1-\alpha}}.$$

c) Seien $x_0 < 1$ und $T > \frac{1-\alpha x_0^{1-\alpha}}{\alpha(1-\alpha)}$: Nun erhalten wir die Lösung

$$z_*(t) = \begin{cases} \big[(1-\alpha)t + x_0^{1-\alpha}\big]^{\frac{1}{1-\alpha}}, & t \in [0, \sigma), \\ e^{t-\sigma}, & t \in [\sigma, t_1), \\ e^{t_1-\sigma}, & t \in [t_1, T], \end{cases} \qquad w_*^2(t) = \ 1, \ t \in [0, \sigma),$$
$$w_*^1(t) = \begin{cases} 1, & t \in [\sigma, t_1), \\ 0, & t \in [t_1, T], \end{cases}$$
$$\chi_{\mathscr{C}_*}(t) = \begin{cases} (0, 1), & t \in [0, \sigma), \\ (1, 0), & t \in [\sigma, T], \end{cases} \qquad J\big(z_*(\cdot), w_*(\cdot), \mathscr{C}_*\big) = e^{T-1-\sigma}.$$

d) Seien $x_0 < 1$ und $T = \frac{1-\alpha x_0^{1-\alpha}}{\alpha(1-\alpha)}$: Wegen $\sigma = t_2$ erfüllen beide Multiprozesse $\big(y_*(\cdot), v_*(\cdot), \mathscr{B}_*\big)$ und $\big(z_*(\cdot), w_*(\cdot), \mathscr{C}_*\big)$ alle Bedingungen von Theorem 4.1.
Sei $n_0 \in \mathbb{N}$ mit $n_0 > \alpha/(1-\alpha)$. Für $n \geq n_0$ betrachten wir die Steuerungen

$$v_n(t) = v_*(t) + \chi_{[\sigma, \sigma + \frac{1}{n})}(t) \cdot \big(w_*(t) - v_*(t)\big), \quad \chi_{\mathscr{B}_n}(t) = \chi_{\mathscr{C}_*}(t),$$

die wie im Fall c) einen Wechsel des Steuerungssystems zum Zeitpunkt $t = \sigma = t_2$ und eine verlängerte Investitionsphase vorgeben. Für den zugehörigen Kapitalbestand $y_n(\cdot)$ gilt $\|y_n(\cdot) - y_*(\cdot)\|_\infty = e^{\frac{1}{n}} - 1$ und für den Wert des Zielfunktionals

$$\begin{aligned} J\big(y_n(\cdot), v_n(\cdot), \mathscr{B}_n\big) - J\big(y_*(\cdot), v_*(\cdot), \mathscr{B}_*\big) &= e^{\frac{1}{n}} \left(T - \sigma - \frac{1}{n}\right) - (T - \sigma) \\ &> \left(1 + \frac{1}{n}\right)\left(\frac{1}{\alpha} - \frac{1}{n}\right) - \frac{1}{\alpha} = \frac{1}{n}\left(\frac{1}{\alpha} - 1 - \frac{1}{n}\right) > 0 \quad \text{für alle } n \geq n_0. \end{aligned}$$

Daher stellt $\big(y_*(\cdot), v_*(\cdot), \mathscr{B}_*\big)$ in diesem Fall kein starkes lokales Optimum dar. Der Multiprozess $\big(z_*(\cdot), w_*(\cdot), \mathscr{C}_*\big)$ ist die eindeutige Lösung.

6 Multiprozesse mit freiem Anfangs- und Endzeitpunkt

Wir betrachten in diesem Abschnitt Multiprozesse mit freiem Anfangs- und Endzeitpunkt. Im Gegensatz zur Aufgabe (3.1)–(3.5) bedeutet dies, dass die Abbildungen h_0 bzw. h_1, die die Start- und Zielmannigfaltigkeit definieren, zeitabhängig sind:

$$h_\iota(t,x) : \mathbb{R} \times \mathbb{R}^n \to \mathbb{R}^{s_\iota}, \quad \iota = 0,1.$$

Zur Behandlung dieser Aufgaben gehen wir analog zu [6], S. 210–213, vor und überführen das Problem mit freier Zeit mittels einer Substitution der Zeit in eine Aufgabe auf festem Zeitintervall. Diese Substitution der Zeit macht es unumgänglich, dass die eingehenden Funktionen und Abbildungen bzgl. der Zeitvariablen t differenzierbar sind.

Wir übernehmen alle in Abschnitt 3 getroffenen Bezeichnungen und Festlegungen, und betrachten im Folgenden Multiprozesse mit freiem Zeitintervall $[t_0, t_1]$:

$$J\big(x(\cdot), u(\cdot), \mathscr{A}\big) = \int_{t_0}^{t_1} \chi_{\mathscr{A}}(t) \circ f\big(t, x(t), u(t)\big)dt \to \inf, \tag{6.1}$$

$$\dot{x}(t) = \chi_{\mathscr{A}}(t) \circ \varphi\big(t, x(t), u(t)\big), \tag{6.2}$$

$$g_j\big(t, x(t)\big) \le 0, \quad t \in [t_0, t_1], \quad j = 1, ..., l, \tag{6.3}$$

$$h_0\big(t_0, x(t_0)\big) = 0, \quad h_1\big(t_1, x(t_1)\big) = 0, \tag{6.4}$$

$$u(t) \in U = U^1 \times ... \times U^k, \quad U^i \neq \emptyset, \quad \mathscr{A} \in \mathscr{Z}^k([t_0, t_1]). \tag{6.5}$$

Wir treffen folgende Annahmen in der Aufgabe (6.1)–(6.5):

($\mathbf{B}_1$) Für $i = 1, ..., k$ sind die Abbildungen $f^i(t, x, u^i)$, $\varphi^i(t, x, u^i)$ stetig in der Gesamtheit der Variablen, stetig differenzierbar bzgl. t und x und es seien alle partiellen Ableitungen stetig in der Gesamtheit der Variablen.

($\mathbf{B}_2$) Sämtliche Funktionen $g_j(t, x)$, $h_\iota(t, x)$ sind stetig und stetig differenzierbar.

Wir nennen ein Quadrupel $\big(x(\cdot), u(\cdot), \mathscr{A}, [t_0, t_1]\big)$ mit $x(\cdot) \in W_\infty^1\big([t_0, t_1], \mathbb{R}^n\big)$, $u(\cdot) \in L^\infty\big([t_0, t_1], U\big)$, $\mathscr{A} \in \mathscr{Z}^k([t_0, t_1])$ und $[t_0, t_1] \subset \mathbb{R}$ einen Multiprozess mit freier Zeit. Ein Multiprozess mit freier Zeit heißt zulässig in der Aufgabe (6.1)–(6.5), wenn auf dem Intervall $[t_0, t_1]$ die Funktion $x(\cdot)$ fast überall der Gleichung

$$\dot{x}(t) = \chi_{\mathscr{A}}(t) \circ \varphi\big(t, x(t), u(t)\big)$$

genügt, für alle $t \in [t_0, t_1]$ die Zustandsbeschränkungen $g_j\big(t, x(t)\big) \le 0$, $j = 1, ..., l$, erfüllt sind und in den Endpunkten t_0, t_1 die Randbedingungen $h_0\big(t_0, x(t_0)\big) = 0$, $h_1\big(t_1, x(t_1)\big) = 0$ gelten.
Ein zulässiger Multiprozess $\big(x_*(\cdot), u_*(\cdot), \mathscr{A}_*, [t_{0*}, t_{1*}]\big)$ ist ein starkes lokales Minimum, wenn eine Zahl $\varepsilon > 0$ derart existiert, dass für jeden anderen zulässigen Steuerprozess $\big(x(\cdot), u(\cdot), \mathscr{A}, [t_0, t_1]\big)$ mit den Eigenschaften

$$|t_0 - t_{0*}| < \varepsilon, \quad |t_1 - t_{1*}| < \varepsilon$$

und

$$\|x(\cdot) - x_*(\cdot)\|_\infty < \varepsilon \quad \text{für jedes } t \in [t_{0*}, t_{1*}] \cap [t_0, t_1]$$

folgende Ungleichung gilt:

$$J\big(x(\cdot), u(\cdot), \mathscr{A}\big) \ge J\big(x_*(\cdot), u_*(\cdot), \mathscr{A}_*\big).$$

In der Aufgabe (6.1)–(6.5) bezeichnen

$$\begin{aligned}\chi_{\mathscr{A}}(t)\circ H(t,x,u,p,\lambda_0) &= \sum_{i=1}^{k}\chi_{\mathscr{A}^i}(t)\cdot H^i(t,x,u^i,p,\lambda_0)\\ \mathscr{H}(t,x,p,\lambda_0) &= \max_{\substack{u^i\in U_i\\ 1\le i\le k}} H_i(t,x,u^i,p,\lambda_0)\end{aligned}$$

die Pontrjagin-Funktion bzw. die Hamilton-Funktion.

Theorem 6.1 (Pontrjaginsches Maximumprinzip)**.** *Es seien die Annahmen* $\mathbf{(B_1)}$, $\mathbf{(B_2)}$ *erfüllt. Ist* $\big(x_*(\cdot),u_*(\cdot),\mathscr{A}_*,[t_{0*},t_{1*}]\big)$ *ein starkes lokales Minimum in der Aufgabe (6.1)–(6.5), dann existieren eine Zahl* $\lambda_0\ge 0$*, Vektoren* $l_0\in\mathbb{R}^{s_0}$, $l_1\in\mathbb{R}^{s_1}$*, eine Vektorfunktion* $p(\cdot),p:[t_0,t_1]\to\mathbb{R}^n$*, und auf den Mengen* $T_j=\big\{t\in[t_0,t_1]\,\big|\,g_j\big(t,x_*(t)\big)=0\big\}$ *konzentrierte nichtnegative reguläre Borelsche Maße* μ_j, $j=1,...,l$*, (wobei diese Größen nicht gleichzeitig verschwinden) derart, dass*

a) die Vektorfunktion $p(\cdot)$ *der Integralgleichung*

$$\begin{aligned}p(t) &= -h_{1x}^{T}\big(t_{1*},x_*(t_{1*})\big)l_1+\int_t^{t_{1*}}\chi_{\mathscr{A}_*}(\tau)\circ H_x\big(\tau,x_*(\tau),u_*(\tau),p(\tau),\lambda_0\big)d\tau\\ &\quad-\sum_{j=1}^{l}\int_t^{t_{1*}} g_{jx}\big(\tau,x_*(\tau)\big)d\mu_j(\tau)\end{aligned}\tag{6.6}$$

genügt und die Transversalitätsbedingung

$$p(t_{0*})=h_{0x}^{T}\big(t_{0*},x_*(t_{0*})\big)l_0.\tag{6.7}$$

erfüllt;

b) für fast alle t *aus* $[t_0,t_1]$ *die Maximumbedingung*

$$\chi_{\mathscr{A}_*}(t)\circ H\big(t,x_*(t),u_*(t),p(t),\lambda_0\big)=\max_{\substack{u^i\in U^i\\ 1\le i\le k}} H^i\big(t,x_*(t),u^i,p(t),\lambda_0\big).\tag{6.8}$$

gilt.

c) Die Hamilton-Funktion von beschränkter Variation und linksseitig stetig ist, und folgende Beziehungen gelten:

$$\begin{aligned}&\mathscr{H}\big(t,x_*(t),p(t),\lambda_0\big)=\big\langle h_{1t}\big(t_{1*},x_*(t_{1*})\big),l_1\big\rangle\\ &-\int_t^{t_{1*}}\chi_{\mathscr{A}_*}(\tau)\circ H_t\big(\tau,x_*(\tau),u_*(\tau),p(\tau),\lambda_0\big)d\tau+\sum_{j=1}^{l}\int_t^{t_{1*}} g_{jt}\big(\tau,x_*(\tau)\big)d\mu_j(\tau),\end{aligned}\tag{6.9}$$

$$\mathscr{H}\big(t_{0*},x_*(t_{0*}),p(t_{0*}),\lambda_0\big)=-\big\langle h_{0t}\big(t_{0*},x_*(t_{0*})\big),l_0\big\rangle.\tag{6.10}$$

Ebenso wie in Aufgaben mit fester Zeit ist die adjungierte Funktion $p(\cdot)$ von beschränkter Variation und linksseitig stetig.

7 Zeitoptimale Steuerung gekoppelter Behälter

Das System in Abbildung 1 zeigt zwei gekoppelte Behälter, die mit einer Flüssigkeit gefüllt sind. In diesem Modell besteht die Kopplung der Behälter durch den zustandsabhängigen Zufluß ax_1 vom ersten in den zweiten Behälter. Der zweite Behälter gibt seinen Inhalt mit der Rate ax_2 an die Umwelt ab. Die beiden Steuerungssysteme bestehen einerseits aus dem Auffüllen der Behälter mit konstanter Rate A, die zwischen beiden Behältern durch die Steuerung u^1 aufgeteilt wird. Andererseits kann die Auffüllung komplett gestoppt werden. Dies liefert folgende Dynamiken in

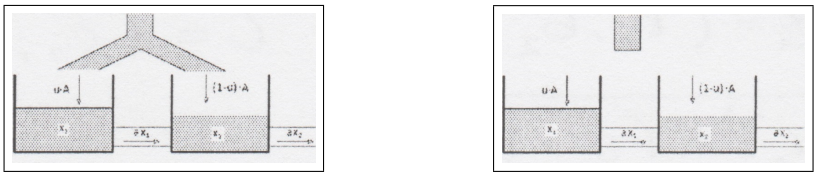

Abbildung 1: Die Behälter in den verschiedenen Steuerungssystemen

den jeweligen Steuerungssystemen:

$$\begin{aligned} \dot{x}_1 &= -ax_1 + u^1 A, & \dot{x}_1 &= -ax_1, \\ \dot{x}_2 &= ax_1 - ax_2 + (1-u^1)A, & \dot{x}_2 &= ax_1 - ax_2. \end{aligned}$$

Dabei beachte man, dass die ungesteuerte zweite Dynamik kein Spezialfall der ersten Dynamik ist. In diesem Modell besteht das Ziel darin, die Füllstände (x_1^0, x_2^0) in kürzester Zeit in den Sollzustand (x_1^f, x_2^f) zu überführen. Die Aufgabe des zeitoptimalen Multiprozesses lautet damit:

$$J\big(x(\cdot), u(\cdot), \mathscr{A}\big) = \int_0^T 1\,dt \to \inf, \tag{7.1}$$

$$\dot{x}(t) = \chi_{\mathscr{A}}(t) \circ \varphi\big(t, x(t), u(t)\big), \tag{7.2}$$

$$\big(x_1(0), x_2(0)\big) = (x_1^0, x_2^0), \qquad \big(x_1(T), x_2(T)\big) = (x_1^f, x_2^f), \tag{7.3}$$

$$u^1(t) \in [0,1], \quad \mathscr{A} \in \mathscr{Z}^2([0,T]), \quad a, A > 0. \tag{7.4}$$

Wir wenden Theorem 6.1 an: Die Pontrjagin-Funktion der Aufgabe (7.1)–(7.4) lautet

$$\mathscr{A} \circ H\big(t, x, u, p, q, \lambda_0\big) = \begin{cases} p[-ax_1 + u^1 A] + q[ax_1 - ax_2 + (1-u^1)A] - \lambda_0, & t \in \mathscr{A}_1, \\ p[-ax_1] + q[ax_1 - ax_2] - \lambda_0, & t \in \mathscr{A}_2. \end{cases}$$

Unabhängig von $\mathscr{A}$ erhalten wir daraus für die Adjungierten $p(\cdot), q(\cdot)$:

$$\begin{pmatrix} \dot{p}(t) \\ \dot{q}(t) \end{pmatrix} = a \cdot \begin{pmatrix} p(t) - q(t) \\ q(t) \end{pmatrix} \qquad \Rightarrow \qquad \begin{pmatrix} p(t) \\ q(t) \end{pmatrix} = e^{at} \cdot \begin{pmatrix} p_0 - atq_0 \\ q_0 \end{pmatrix}. \tag{7.5}$$

Die Bedingung (6.8) liefert Maximierungsaufgabe

$$\max_{i \in \{1,2\}} \Big\{ \max_{u^1 \in [0,1]} [u^1 p(t) + (1-u^1) q(t)],\ 0 \Big\}. \tag{7.6}$$

Außerdem, da die Aufgabe autonom ist, folgt $\mathscr{H}\big(t, x_*(t), p(t), \lambda_0\big) \equiv 0$ aus (6.9) und (6.10).

Zur Auswertung der Maximierungsaufgabe (7.6) sind die Relation zwischen $p(t), q(t)$ und $r(t) \equiv 0$ zu klären. Zunächst gilt $(p_0, q_0) \neq (0,0)$ in (7.5), denn sonst würde für

i) $\lambda_0 = 0$ der Fall trivialer Multiplikatoren in Theorem 6.1 bzw.

ii) $\lambda_0 \neq 0$ ein Widerspruch zu $\mathscr{H}\big(t, x_*(t), p(t), \lambda_0\big) \equiv 0$

auftreten. Dann ergeben sich in Abhängigkeit von $q_0 \in \mathbb{R}$ folgende Situation für die Adjungierten, wobei σ den (möglichen) Schnittpunkt der Graphen von $p(\cdot)$ und $q(\cdot)$ bezeichnet:

1) $q_0 = 0$: $p(t) > q(t) \equiv 0$ für $p_0 > 0$; $p(t) < q(t) \equiv 0$ für $p_0 < 0$.

2) $q_0 > 0$: $p(t) < q(t)$ für $p_0 \leq q_0$ und $t > 0$; es existiert $\sigma > 0$ für $p_0 > q_0$.

3) $q_0 < 0$: $p(t) > q(t)$ für $p_0 \geq q_0$ und $t > 0$; es existiert $\sigma > 0$ für $p_0 < q_0$.

Beachten wir nun weiterhin die optimale Stoppzeit T_* und die (mögliche) Nullstelle σ_0 von $p(\cdot)$, dann ergeben sich folgende Wechselstrategien $\mathscr{A}_*$ und Steuerungen $u_*^1(t)$:

a) Es ist nur ein Steuerungssystem aktiv auf $[0, T_*]$, wenn
   i) $p(t) > \max\{q(t), 0\}$ für alle $t \in (0, T_*)$ und es ist $\big(u_*^1(t), \chi_{\mathscr{A}_*^1}(t), \chi_{\mathscr{A}_*^2}(t)\big) \equiv (1, 1, 0)$;
   ii) $q(t) > \max\{p(t), 0\}$ für alle $t \in (0, T_*)$ und es ist $\big(u_*^1(t), \chi_{\mathscr{A}_*^1}(t), \chi_{\mathscr{A}_*^2}(t)\big) \equiv (0, 1, 0)$;
   iii) $0 > \max\{p(t), q(t)\}$ für alle $t \in (0, T_*)$ und es ist $\big(u_*^1(t), \chi_{\mathscr{A}_*^1}(t), \chi_{\mathscr{A}_*^2}(t)\big) \equiv (1, 1, 0)$.

b) Es gibt einen Strategiewechsel,
   i) und zwar wenn $p_0 > q_0 > 0$ und $\sigma \in (0, T_*)$:

$$\big(u_*^1(t), \chi_{\mathscr{A}_*^1}(t), \chi_{\mathscr{A}_*^2}(t)\big) \equiv (1, 1, 0) \quad \longrightarrow \quad \big(u_*^1(t), \chi_{\mathscr{A}_*^1}(t), \chi_{\mathscr{A}_*^2}(t)\big) \equiv (0, 1, 0);$$

   ii) und zwar wenn $p_0 < q_0 < 0$ und $\sigma_0 \in (0, T_*)$:

$$\big(\chi_{\mathscr{A}_*^1}(t), \chi_{\mathscr{A}_*^2}(t)\big) \equiv (0, 1) \quad \longrightarrow \quad \big(u_*^1(t), \chi_{\mathscr{A}_*^1}(t), \chi_{\mathscr{A}_*^2}(t)\big) \equiv (1, 1, 0).$$

c) Der Strategiewechsel ist nicht eindeutig bestimmbar, wenn $p_0 < q_0 = 0$:

$$\big(u_*^1(t), \chi_{\mathscr{A}_*^1}(t), \chi_{\mathscr{A}_*^2}(t)\big) \equiv (0, 1, 0) \quad \longleftrightarrow \quad \big(\chi_{\mathscr{A}_*^1}(t), \chi_{\mathscr{A}_*^2}(t)\big) \equiv (0, 1).$$

Zur Illustration dieser Übersicht sei $a = 1$, $A = 10$, $x_1^0, x_2^0 \in [0, 10]$ und $(x_1^f, x_2^f) = (5, 5)$. Die Zustände $\big(x_*^1(t), x_*^2(t)\big)$, die zu den Steuerungen und aktivem System im Fall a) gehören, teilen das Phasendiagramm $(x_1, x_2) \in [0, 10] \times [0, 10]$ in die Bereiche X, Y, Z ein (Abbildung 2).

X: Die optimale Steuerung und Wechselstrategie wird durch ii) im Fall b) gegeben. Zum Zeitpunkt $t = \sigma_0$ erreicht die Trajektorie $\big(x_*^1(t), x_*^2(t)\big)$ den Rand des Bereiches X.

Y: Die optimale Steuerung und Wechselstrategie wird durch i) im Fall b) gegeben. Zum Zeitpunkt $t = \sigma$ erreicht die Trajektorie $\big(x_*^1(t), x_*^2(t)\big)$ den Rand des Bereiches Y.

Z: Die optimale Strategie ist nicht eindeutig, denn es tritt der Fall c) ein. Da in diesem Bereich die optimale Stoppzeit T_* durch die schnellste Reduktion des Zustandes x_1^0 zu x_1^f festgelegt ist, muss im zweiten Behälter lediglich die Bedingung $x_2(T_*) = x_2^f$ sichergestellt werden.

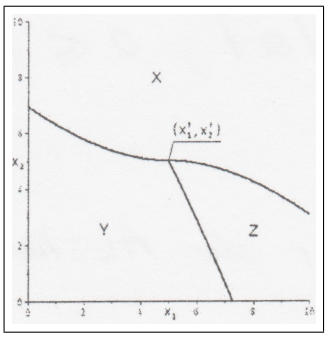

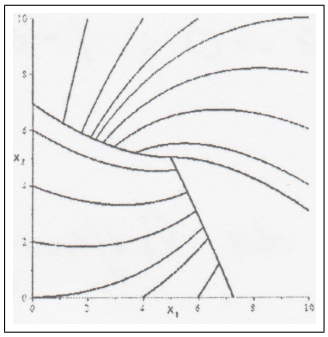

Abbildung 2: Die Einteilung des Phasendiagramms und die optimalen Trajektorien

Wir fügen dem Behältermodell (7.1)–(7.4) eine Zustandsbeschränkung hinzu:

$$x^2(t) \geq S \text{ für alle } t \in [0,T], \qquad x_0^2, x_0^f, A > S.$$

Sei nun $\big(x_*^1(t), x_*^2(t)\big)$ eine optimale Trajektorie in der Aufgabe (7.1)–(7.4) ohne Zustandsbeschränkung mit $x_*^2(t) < S$ für ein $t \in (0, T_*)$. Dann existieren Zeitpunkte $0 < t_1 < t_2 < T_*$ mit $x^2(t_1) = x^2(t_2) = S$. Nach Theorem 6.1 erhalten wir auf dem Teilstück $[t_1, t_2]$, auf dem die Zustandsbeschränkung aktiv wird, für die Adjungierten

$$p(t) = q(t) > 0, \qquad \dot{p}(t) = \dot{q}(t) = 0.$$

Dies liefert unter dem Ansatz $d\mu(t) = \lambda(t)\,dt$ für das Borelsche Maß

$$\lambda(t) = a\big(2q(t) - p(t)\big) > 0.$$

Eingeschränkt auf das Teilstück $[t_1, t_2]$ erhalten wir für den Multiprozess

$$x_*^1(t) = x_*^1(t_1) + (t - t_1)(A - S), \quad x_*^2(t) = S, \quad u_*^1(t) = \frac{x_*^1(t) - S + A}{A}, \quad \big(\chi_{\mathscr{A}_*^1}(t), \chi_{\mathscr{A}_*^2}(t)\big) = (1, 0).$$

Für $a = 1$, $A = 10$, $x_1^0, x_2^0 \in [0, 10]$, $(x_1^f, x_2^f) = (5, 5)$ und $S = 3,5$ ergibt sich das Phasenportrait

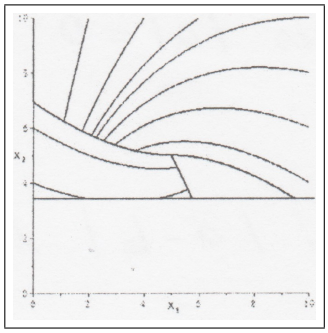

Abbildung 3: Die optimalen Trajektorien im Phasendiagramm unter Zustandsbeschränkung

Literatur

[1] Clarke, F. H. & Vinter, R. B.: Optimal multiprocesses. SIAM J. Control and Optimization, 27, pp. 1072–1091, 1989.

[2] Clarke, F. H. & Vinter, R. B.: Applications of Optimal Multiprocesses. SIAM J. Control and Optimization, 27, pp. 1048–1071, 1989.

[3] Dmitruk, A. V. & Kaganovich, A. M.: The Hybrid Maximum Principle is a consequence of Pontryagin Maximum Principle. Systems & Control Letters, 2008, Vol. 57, no. 11, p. 964–970.

[4] Galbraith, G. N. & Vinter, R. B.: Optimal control of hybrid systems with an infinite set of discrete states. Journal of Dynamical and Control Systems, 9, pp. 563 – 584, 2003.

[5] Garavello, M. & Piccoli, B.: Hybrid Necessary Principle. SIAM J. Control Optim., 43, pp. 1867–1887, 2005.

[6] Ioffe, A. D. & Tichomirov, V. M.: Theorie der Extremalaufgaben. VEB Deutscher Verlag der Wissenschaften Berlin 1979.

[7] Seierstad, A., Sydsæter, K.: Optimal Control Theory with Economic Applications. North-Holland Amsterdam-New York-Oxford-Tokyo, (1987).

[8] Shaikh, M. S.: Optimal control of hybrid systems: Theory and algorithms. Ph.D. dissertation, Department of Electrical and Computer Engineering, McGill University, Montr´eal, Canada, May 2004.

[9] Shaikh, M. S. & Caines, P. E.: On the hybrid optimal control problem: Theory and algorithms. IEEE Transactions on Automatic Control, 52, pp. 1587–1603, 2007.

[10] Sussmann, H. J.: A nonsmooth hybrid maximum principle. Stability and Stabilization of Nonlinear Systems. Lecture Notes in Control and Information Sciences 246, Springer, pp. 325–354, London 1999.

[11] Tauchnitz, N.: Das Pontrjaginsche Maximumprinzip für eine Klasse hybrider Steuerungsprobleme mit Zustandsbeschränkungen. PhD Thesis, BTU Cottbus 2010.